

Río Anoia

Los valores de antimonio en el río Anoia quedan expuestos en la **figura 23**. En ésta se puede apreciar, como ocurre con la mayoría de los metales, que la distribución del contenido de antimonio sigue una evolución inversa a los ríos Cardener y Llobregat, es decir, conforme se acerca el río al cauce final disminuyen las concentraciones de este elemento. Las concentraciones más bajas de antimonio se dan en Jorba (0.6 ?g/l) y las más altas en Vilanova del Camí (15.2 ?g/l) tras recibir el impacto de los efluentes de las industrias del curtido de pieles y textiles de Igualada (35000 habitantes). Las elevadas concentraciones de antimonio en Vilanova del Camí coinciden con áreas altamente industrializadas hallándose valores de 22.4 y 24.2 ?g/l en otoño e invierno respectivamente. En este río el antimonio está fuertemente correlacionado con el cromo y el zinc ($r=0.896$ y $r=0.581$, $p<0.01$ respectivamente) lo cual es coherente, puesto que las industrias del curtido de pieles y textiles son focos de contaminación importantes de éstos tres metales. El río Anoia a partir de Vilanova del Camí, muestra una sensible recuperación en la calidad del agua posiblemente debido al fenómeno de la autodepuración y también puede atribuir a los procesos de precipitación de metales en los sedimentos (Förstner y Salomons, 1980; Calmano *et al.*, 1988a; Salomons y Förstner, 1995; Ouboter *et al.*, 1998). La única zona contaminada por antimonio es la situada en Vilanova del Camí, ya que las concentraciones halladas superan en un 50% a los valores estipulados por la normativa (10 ?g/l). La concentración media es de 5.2 ?g/l y oscila entre 2.0 – 8.5 ?g/l , con un nivel de significación de $p<0.05$.

Con el estudio del análisis de la varianza se observa, que el río Anoia tiene una concentración de antimonio significativamente superior a la del Cardener y éste a la del Llobregat ($p<0.05$), ello podría ser atribuido a que la cuenca del río Anoia presenta un caudal bajo respecto al Cardener y Llobregat.

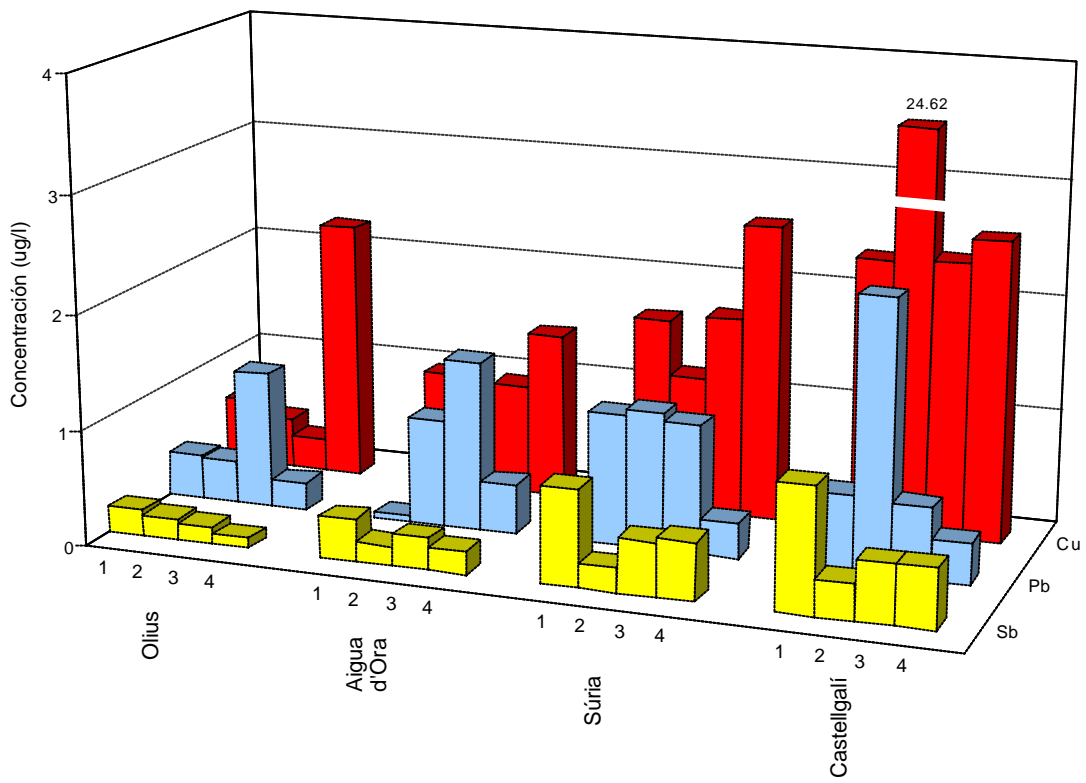


Figura 19: Evolución espacial y temporal de Sb, Pb y Cu a lo largo del río Cardener